

佐賀大学 理工学部 正員 鬼塚亮治  
・吉武茂樹

## 1. まえがき

先に、乾燥による締固め土の力学的性質の変化を知るために、粘性土の赤土を用いて、同じ初期締固め条件を持つ、湿潤供試体と、マウント空気乾燥供試体について三輪圧縮試験を行なった。その後、砂質土のマサエについても同様の試験を行なった。以下、両試料を比較しながら締固め土の力学的特性に及ぼす乾燥の影響について報告する。

## 2. 試料と試験方法

試料は、佐賀県神崎郡日達原で採取した赤土と、佐賀郡川上で採取したマサエである。

## 3. 試料の諸性質は表-1と 같다。

試料は、 $2\text{mm}$ フルイ通過したものを空気乾燥し、各種の方法の含水比に応じて調整し、一日間養生したもの用いた。これを、ハーバード乾燥装置(154.35, 254)で得られた最大乾燥密度 $\gamma_d = 1.55\text{ g/cm}^3$ (マサエ),  $\gamma_d = 1.526\text{ g/cm}^3$ ,  $C = 0.729$ , 赤土 $\gamma_d = 1.303\text{ g/cm}^3$ ,  $C = 1.008$ )による様に $254 \times 87\text{mm}$ のモールドに締固めた。湿潤供試体は、作成後、E打ちに試験を行なったが、空気乾燥供試体は一定の重量にするまで、赤土では約一週間、マサエでは4日間室内に静置しその後試験を行なった。試験後、含水比は、初期含水比に関係なく、赤土で3.4%, マサエで1.1%である。6分間圧密後、湿潤供試体では $0.5\text{ kg/cm}^2$ 空気乾燥供試体では $0.5\text{ kg/cm}^2$ のせん断速度で、排水せん断を行なった。

## 3. 試験結果と考察

最大軸差应力：湿潤供試体と乾燥供試体のせん断特性の変化を示したのが図-1(赤土)である。両試料とも、湿潤供試体での軸差应力は曲線は増加して明瞭アーチを示さないが、乾燥供試体では小さく大きくなり難くなる。供試体の含水比によって、赤土の場合、乾燥供試体の方が、湿潤供試体よりも大きさ正のダイレクトシテーション特性を示していく。一方、マサエの場合、乾燥供試体の体積変化( $\Delta V/V_0$ )は湿潤供試体に比べて小さくなる。正のダイレクトシテーション特性を示していくと言えない。これは赤土の乾燥供試体の軸差应力-体積変化ヒズム曲線の関係が過圧密粘土のそれと類似の傾向を有しているのにに対し、マサエの場合、その傾向は少ないと想える。赤土に比べてマサエの粘土含有率が少ないのでと思われる。

表-1

Sample	Gs	Wt	Wp	Wopt (%)	$\sigma_{max}$ ( $\text{kg/cm}^2$ )	Distribution (%)	Classification
Masa Soil	2.64	NP	NP	12.7	1605	12.8 73.9 12.4 0.9	S. M
Metabaru Soil	2.73	55.6	33.7	28.7	1378	6.0 61.0 17.0 16.0	M. M

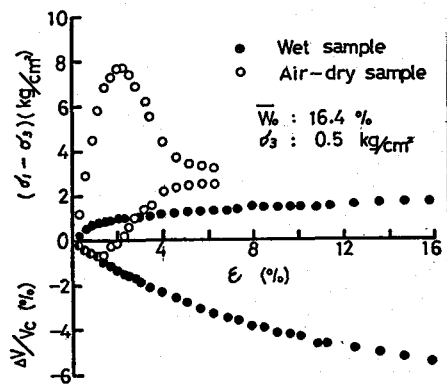


図-1 軸差应力-体積変化ヒズム(赤土)

Metabaru Soil

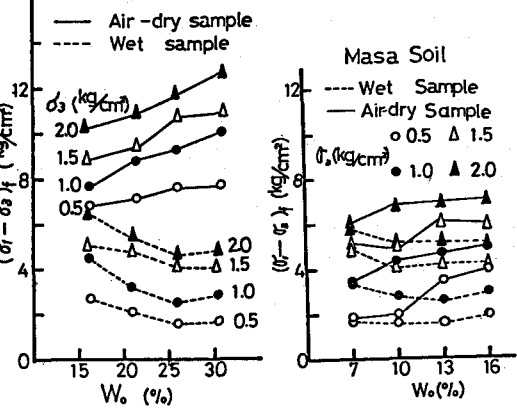


図-2 最大軸差应力と初期含水比

図-2には最大軸差応力と初期含水比の関係を示した。両試料とも乾燥土の最大軸差応力は初期含水比の高いものほど大きい。この原因として乾燥過程に生じるメニスカス消失による粒子間圧縮力の増大が考えられる。初期含水比が高いほど乾燥時に生じるメニスカス数が多くなり、粒子間圧縮力が大きくなる。また初期含水比の高い土では強度が大きくなる。

ダイレイタシヨー：乾燥によるダイレイタシヨー特性の変化を比較するため、最大軸差応力時の体積変化とズミ曲線の傾きを図-3に示した。湿润供試体のダイレイタシヨー指数は両試料ともDI=0.4~1.4の範囲にあり、ほぼ同様の傾向にある。これに対し乾燥供試体では、赤土でDI=0.4~1.4、マサ土でDI=0.2~0.6の範囲にある。これは赤土の方がセメント時に正のダイレイタシヨー特性が入る現れであると言える。この原因として、微粒子の合有率が高いためである。赤土の方が乾燥過程において大きな粒子間圧縮力を受けて過圧密土であり、また微粒子によるトリスミクン圧縮力が発生するためと思われる。

強度定数：乾燥による強度増加を強度定数によって比較したのが図-4(a)である。湿润供試体について、赤土の方は見かけの粘着力( $C_s$ )とせん断抵抗角( $\phi_s$ )が初期含水比が高くなるほど大きくなり減少していく。マサ土の場合、せん断抵抗角は、ほぼ赤土と同じ傾向を示す。これに対し見かけの粘着力は逆に増加していく。乾燥供試体について、赤土の見かけの粘着力、せん断抵抗角とともに含水比の増大につれて増加していくが、この場合もマサ土のせん断抵抗角が減少する傾向にある。

次に湿润供試体と乾燥供試体の強度定数を比較してみると、湿润供試体では、両試料とも $C_s=0.1~0.2$ の範囲にあり、差はない。乾燥供試体では、せん断抵抗角につれて赤土が高くなるが、マサ土が $0.1~0.2$ の範囲にある。初期含水比との関係から見ると、くろかわ黒川の傾向を示すよりも、その値とては逆の傾向があり見らるが、また乾燥によるせん断抵抗角の増加が高マグである。乾燥後の見かけの粘着力は赤土が $C_s=0.1~0.2$ 、マサ土が $C_s=0.1~0.2$ の範囲にある。これらを見かけの粘着力を湿润土と比較すると赤土が $0.1~0.2$ 、マサ土が $0.1~0.2$ 倍の見かけの粘着力を有している。このことより空気乾燥による強度の増加の大半は見かけの粘着力の増大によるものである。

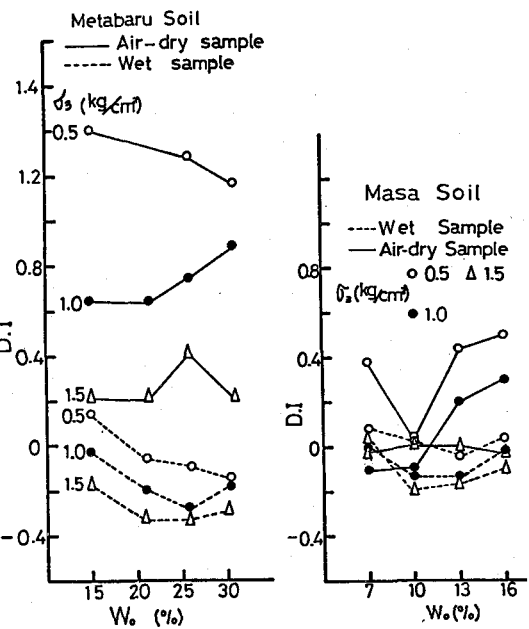


図-3. ダイレイタシヨー指数と初期含水比

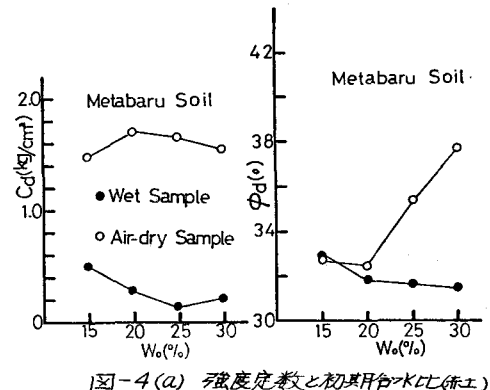


図-4(a) 強度定数と初期含水比(赤土)

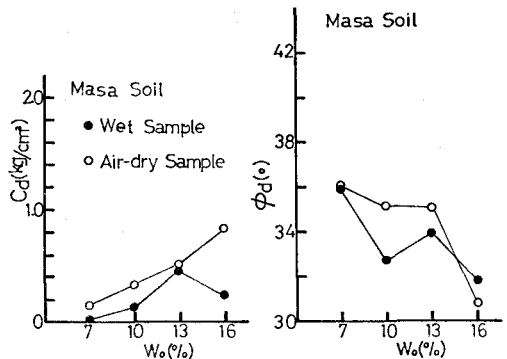


図-4(b) 強度定数と初期含水比(マサ土)